

# НЕСТАЦИОНАРНЫЙ РАДИАЦИОННО-КОНДУКТИВНЫЙ ТЕПЛООБМЕН В ПОЛУПРОЗРАЧНОЙ СРЕДЕ С УЧЕТОМ РАССЕЯНИЯ

А.Л. Бурка, Е.В. Великанов

В работе рассматривается численное решение краевой задачи для радиационно-кондуктивного теплообмена (РКТ) в слое селективно-поглощающей, излучающей и рассеивающей среды.

Проблема совместного переноса тепла теплопроводностью и излучением в настоящее время актуальна во многих практических задачах, в частности при исследовании процесса нагрева и охлаждения стекол, пластмасс, кристаллов.

Спектральный коэффициент объемного поглощения при температуре  $T=300$  К рассчитывался по экспериментально измеренному спектру пропускания оргстекла [1].

Краевая задача для уравнения энергии в безразмерном виде записывается следующим образом:

$$\rho c_p L^2 \frac{\partial \theta}{\partial \tau} = \frac{\partial}{\partial \xi} \left( \Lambda \frac{\partial \theta}{\partial \xi} \right) - \frac{L}{T_*} \frac{\partial E}{\partial \xi}, \quad 0 < \xi < 1, \tau > 0, \quad (1)$$

$$\begin{aligned} \frac{\partial \theta}{\partial \xi} &= \frac{\alpha_0 L}{\Lambda} (\theta - \theta_0) - \\ &- \frac{L}{\Lambda T_*} \int_{\Omega_0} \varepsilon_{\lambda 0} [Q_{\lambda 0}(\theta_1^*) - E_{\lambda 0}(\theta)] d\lambda, \quad \xi = 0, \end{aligned} \quad (2)$$

$$\begin{aligned} \frac{\partial \theta}{\partial \xi} &= \frac{\alpha_1 L}{\Lambda} (\theta_1 - \theta) - \\ &- \frac{L}{\Lambda T_*} \int_{\Omega_1} \varepsilon_{\lambda 1} [Q_{\lambda 1}(\theta_1^*) - E_{\lambda 1}(\theta)] d\lambda, \quad \xi = 1, \\ \theta(\xi, 0) &= \theta_0(\xi). \end{aligned} \quad (3)$$

$$(4)$$

Система уравнений переноса для прямой и обратной интенсивностей записываются

$$\begin{aligned} \mu \frac{dI_{\lambda}^+}{dx} + \beta_{\lambda} I_{\lambda}^+ &= \kappa_{\lambda} I_{\lambda b}(T) + \\ &+ \frac{\sigma_{\lambda}}{2} \int_{\mu'=0}^1 (p(\mu, \mu') I_{\lambda}^+(x, \mu') + p(\mu, -\mu') I_{\lambda}^-(x, -\mu')) d\mu', \end{aligned} \quad (5)$$

$$\begin{aligned} \mu \frac{dI_{\lambda}^-}{dx} - \beta_{\lambda} I_{\lambda}^- &= -\kappa_{\lambda} I_{\lambda b}(T) - \\ &- \frac{\sigma_{\lambda}}{2} \int_{\mu'=0}^1 (p(-\mu, \mu') I_{\lambda}^+(x, \mu') + p(-\mu, -\mu') I_{\lambda}^-(x, -\mu')) d\mu', \end{aligned}$$

$$0 < x < L$$

$$I_{\lambda}^+(0, \mu) = (1 - R_{\lambda 0}) I_{p\lambda}(T_0) + R_{\lambda 0} I_{\lambda}^-(0, -\mu), \quad (6)$$

$$I_{\lambda}^-(L, -\mu) = (1 - R_{\lambda 1}) I_{p\lambda}(T_1) + R_{\lambda 1} I_{\lambda}^+(L, \mu),$$

Здесь  $E_{\lambda i} = I_{\lambda b}(T_i)$ ;  $\mu = |\cos \varphi|$ ,  $\varphi$  – угол между лучом и положительным направлением

$$\text{оси } x, \quad 0 \leq \mu \leq 1; \quad I_{\lambda b}(T) = \frac{2hc_0^2}{n^2 \lambda^5 [\exp(hc_0/(n\lambda kT)) - 1]};$$

$\kappa_{\lambda}$  – спектральный коэффициент объемного поглощения материала для частоты  $\lambda$ ,  $\sigma_{\lambda}$  – спектральный коэффициент объемного рассеяния;  $\beta_{\lambda}$  – спектральный коэффициент ослабления ( $\beta_{\lambda} = \kappa_{\lambda} + \sigma_{\lambda}$ ),  $p$  – сферическая индикатриса рассеяния,  $n$  – показатель преломления;  $c_p$  – удельная теплопроводность;  $\rho$  – плотность среды;  $\Lambda$  – коэффициент теплопроводности;  $L$  – толщина слоя;  $T_i$ ,  $T_i^*$  – температуры внешней среды и внешних излучателей;  $I_{\lambda}^{\pm}$  – спектральные интенсивности излучения в положительном и отрицательном направлениях оси  $x$ ;  $I_{\lambda b}(T)$  – функция Планка;  $Q_{\lambda i}$  – плотности падающих потоков;  $E_{\lambda i}$  – плотности собственного излучения;  $\varepsilon_{\lambda i}$  – степени черноты;  $R_{\lambda i}$  – коэффициенты отражения;  $\Omega_i$  – спектральные области непрозрачности граничных поверхностей;  $a_i$  – коэффициенты конвективной теплоотдачи на границах;  $i=0, 1$ .

$$\text{Используя замену } U = \int_0^{\theta} \Lambda(\theta) dz$$

задача перепишется в виде:

$$\frac{\partial^2 U}{\partial \xi^2} - U = F(\theta),$$

$$\text{где } F(\theta) = \frac{L}{T_*} \frac{\partial E}{\partial \xi} + R \frac{\partial \theta}{\partial \tau} - \int_0^{\theta} \Lambda(\theta) dz,$$

с использованием функции Грина

$$G(\xi, z) = \begin{cases} -ch(1-\xi)ch(z)/sh(1), & 0 \leq z \leq \xi \\ -ch(\xi)ch(1-z)/sh(1), & \xi \leq z \leq 1, \end{cases}$$

являющейся решением однородной краевой задачи [2].

$$\frac{\partial^2 G(\xi, z)}{\partial z^2} - G(\xi, z) = \delta(\xi, z), \quad 0 \leq \xi, z \leq 1;$$

с граничными условиями

# НЕСТАЦИОНАРНЫЙ РАДИАЦИОННО-КОНДУКТИВНЫЙ ТЕПЛООБМЕН В ПОЛУПРОЗРАЧНОЙ СРЕДЕ С УЧЕТОМ РАССЕЯНИЯ

$$\begin{aligned}\frac{\partial G}{\partial z} &= 0, \quad z = 0; \\ \frac{\partial G}{\partial z} &= 0, \quad z = 1;\end{aligned}$$

где  $\delta(\xi, z)$  — функция Дирака; начально-краевая задача (1)-(4) сводится к нелинейному интегральному уравнению относительно искомой безразмерной температуры  $\Theta(\xi, \tau)$ , которое имеет вид

$$\int_0^1 \Lambda(\theta) dz = q_0 G(\xi, 0) - q_1 G(\xi, 1) + \int_0^1 F(\theta, z, t) G(\xi, z) dz, \quad (7)$$

$$\begin{aligned}\text{здесь } q_0 &= \frac{\alpha_0 L}{\Lambda} (\theta(0, \tau) - \theta_0) - \\ &- \omega \int_{\Omega} \varepsilon_{\lambda 0} [Q_{\lambda 0}(\theta_0^*) - E_{\lambda 0}(\theta)] d\nu, \\ q_1 &= \frac{\alpha_1 L}{\Lambda} (\theta_1 - \theta(1, \tau)) + \\ &+ \omega \int_{\Omega} \varepsilon_{\lambda 1} [Q_{\lambda 1}(\theta_1^*) - E_{\lambda 1}(\theta)] d\nu,\end{aligned}$$

$$\begin{aligned}\theta(\xi, t) &= T(\xi, t)/T_*; \quad \theta_i^* = T_i^*/T_*; \quad G(\xi, 0) = -\text{ch}(1-\xi)/\text{sh}(1); \\ G(\xi, 1) &= -\text{ch}(\xi)/\text{sh}(1); \quad \xi = x/L; \quad \theta_i = T_i/T_*; \quad \omega = L/(\Lambda T_*); \\ R &= L^2 \rho c_p; \quad i=0, 1; \\ T_* &— \text{характерная температура.}\end{aligned}$$

Интенсивности излучения, которые определяются из решения краевой задачи (5), (6) для уравнения переноса излучения, имеют вид:

$$\begin{aligned}I_{\lambda}^+(\xi, \mu) &= \left[ I_{\lambda}^+(0, \mu) + \frac{\kappa_{\lambda} L}{\mu} \int_0^{\xi} e^{\frac{\beta_{\lambda} L}{\mu} y} I_{\lambda b}(T) dy + \right. \\ &\left. + \frac{\sigma_{\lambda} L}{2 \mu} \int_{y=0}^{\xi} e^{\frac{\beta_{\lambda} L}{\mu} y} \int_{\mu'=-1}^1 p(\mu_0) I_{\lambda}(y, \mu') d\mu' dy \right] \cdot e^{-\frac{\beta_{\lambda} L}{\mu}}, \\ I_{\lambda}^-(\xi, -\mu) &= \left[ I_{\lambda}^-(1, -\mu) + \frac{\kappa_{\lambda} L}{\mu} \int_{\xi}^1 e^{-\frac{\beta_{\lambda} L}{\mu} y} I_{\lambda b}(T) dy + \right. \\ &\left. + \frac{\sigma_{\lambda} L}{2 \mu} \int_{y=\xi}^1 e^{-\frac{\beta_{\lambda} L}{\mu} y} \int_{\mu'=-1}^1 p(\mu_0) I_{\lambda}(y, \mu') d\mu' dy \right] \cdot e^{-\frac{\beta_{\lambda} L}{\mu}}.\end{aligned} \quad (8)$$

С использованием соотношений (6), (8) из решения системы алгебраических уравнений определяются граничные значения интенсивностей

$$\begin{aligned}I_{\lambda}^+(0, \mu) &= \left\{ \varepsilon_{0\lambda} I_{\lambda b}(0) + R_{\lambda 0} \varepsilon_{\lambda 1} I_{\lambda b}(1) e^{-\frac{\beta_{\lambda} L}{\mu}} + \right. \\ &+ \frac{\kappa_{\lambda} L}{\mu} \int_0^1 I_{\lambda b}(z) \left[ R_{\lambda 0} e^{-\frac{\beta_{\lambda} L}{\mu} z} + R_{\lambda 0} R_{\lambda 1} e^{-\frac{\beta_{\lambda} L}{\mu} (2-z)} \right] dz + \\ &+ \frac{\sigma_{\lambda} L}{2 \mu} \left( R_{\lambda 0} \int_{z=0}^1 e^{-\frac{\beta_{\lambda} L}{\mu} z} \int_{\mu'=-1}^1 p(\mu_0) I_{\lambda}(z, \mu') d\mu' dz + \right. \\ &\left. \left. + R_{\lambda 0} R_{\lambda 1} \int_{z=0}^1 e^{-\frac{\beta_{\lambda} L}{\mu} (2-z)} \int_{\mu'=-1}^1 p(\mu_0) I_{\lambda}(z, \mu') d\mu' dz \right) \right\} / D,\end{aligned}$$

$$\begin{aligned}I_{\lambda}^-(1, -\mu) &= \left\{ \varepsilon_{1\lambda} I_{\lambda b}(1) + R_{\lambda 1} \varepsilon_{\lambda 0} I_{\lambda b}(0) e^{-\frac{\beta_{\lambda} L}{\mu}} + \right. \\ &+ \frac{\kappa_{\lambda} L}{\mu} \int_0^1 I_{\lambda b}(z) \left[ R_{\lambda 1} e^{-\frac{\beta_{\lambda} L}{\mu} (1-z)} + R_{\lambda 0} R_{\lambda 1} e^{-\frac{\beta_{\lambda} L}{\mu} (1+z)} \right] dz + \\ &+ \frac{\sigma_{\lambda} L}{2 \mu} \left( R_{\lambda 1} \int_{z=0}^1 e^{-\frac{\beta_{\lambda} L}{\mu} (1-z)} \int_{\mu'=-1}^1 p(\mu_0) I_{\lambda}(z, \mu') d\mu' dz + \right. \\ &\left. \left. + R_{\lambda 0} R_{\lambda 1} \int_{z=0}^1 e^{-\frac{\beta_{\lambda} L}{\mu} (1+z)} \int_{\mu'=-1}^1 p(\mu_0) I_{\lambda}(z, \mu') d\mu' dz \right) \right\} / D,\end{aligned}$$

$$\text{где } \varepsilon_{\lambda 0} = 1 - R_{\lambda 0}; \quad \varepsilon_{\lambda 1} = 1 - R_{\lambda 1}; \quad D = 1 - R_{\lambda 0} R_{\lambda 1} \exp(2\beta_{\lambda} L/\mu).$$

$$\text{В [3] показано, что } \frac{\partial E}{\partial z} = \int_0^{\infty} \tau_{\lambda} [4I_{\lambda b}(z) - G_{\lambda}(z)] d\lambda,$$

$$\text{где } G_{\lambda}(z) = 2\pi \int_{\mu=0}^1 (I_{\lambda}^+(z, \mu) + I_{\lambda}^-(z, -\mu)) d\mu.$$

Таким образом, задача о РКТ (1)-(6) в плоском слое селективно-поглощающей, излучающей и рассеивающей среды сводится к решению итерационным методом [4] нелинейного интегрального уравнения (7) относительно искомой безразмерной температуры  $\Theta(\xi, \tau)$ .

Интегралы (7), (8) вычислялись по квадратурным формулам Гаусса с 20 узлами, производная  $\partial \theta / \partial \tau$  аппроксимировалась конечно-разностным отношением.

Прямая и обратная составляющая интенсивности излучения находились поточечным последовательным методом Гаусса-Зейделя.

Для каждого момента времени рассчитывался профиль температуры.

Численные расчеты, для модельной задачи, проводились при следующих теплофизических и оптических характеристиках:  $T_H = 293$  К;  $\Lambda$  — переменная при этом интервалу  $T = 91,91 \dots 674,02$  (К) соответствовал  $\Lambda = 0,64 \dots 1,79$  (Вт/(м<sup>2</sup>·К));  $c_p = 1,73 \cdot 10^3$  Дж/(кг·К);  $\rho = 1,1 \cdot 10^3$  кг/м<sup>3</sup>;  $T_* = 403$  К;  $n = 1,5$ .

По формулам, приведенным в работе [6], рассчитаны коэффициент теплоотдачи  $\alpha_0$  и температура внешней среды  $T_0$ , которые изменяется следующим образом: в интервале 1000 — 1350 сек. значения температуры монотонно возрастают от 5 до 130 С°, а в интервале 1350 — 1800 сек. 130 С°.

На границе  $T_1 = 293$  К,  $\alpha_1 = 5$  Вт/(м<sup>2</sup>·К). Внутри слоя учитывалось переизлучение, а на его поверхностях — собственное излучение и конвективные потоки тепла. При этом граничные условия (2), (3) принимают вид

$$\Lambda \frac{\partial T}{\partial x} = \alpha_0 (T - T_0) + \int_{\Omega_0} \varepsilon_{\lambda 0} E_{\lambda 0}(T) d\lambda \quad x=0$$

$$\Lambda \frac{\partial T}{\partial x} = \alpha_1 (T_1 - T) - \int_{\Omega_1} \varepsilon_{\lambda 1} E_{\lambda 1}(T) d\lambda. \quad x=L$$

В результате численного счета были получены следующие результаты.

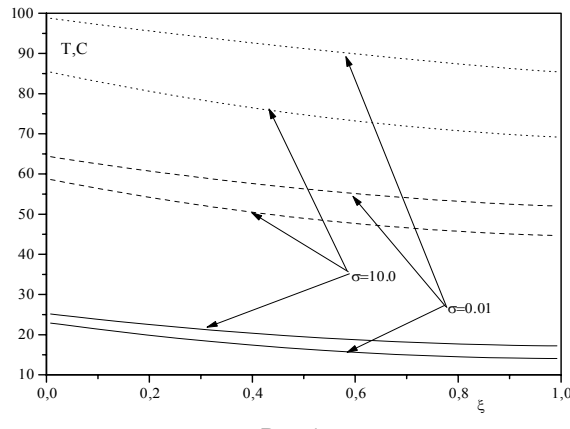


Рис.1

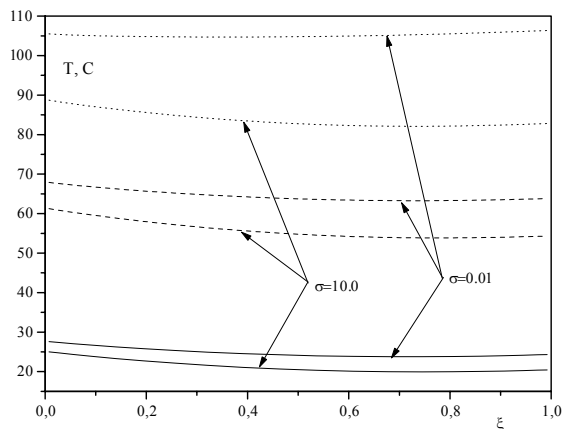


Рис.2

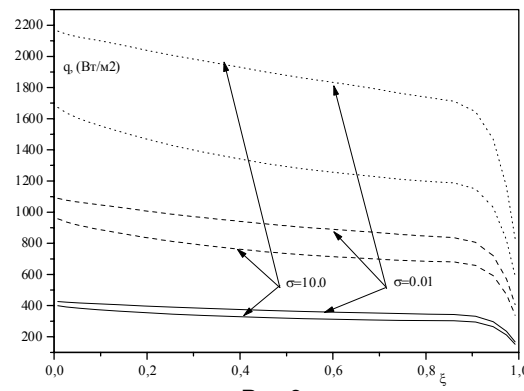


Рис.3

На рис.1 и рис.2 представлены температурные распределения, где указаны спектральные коэффициенты объемного рассеяния (индекс  $\lambda$  не прописан), при этом на всех трех графиках сплошные линии — 1000 сек. от начала нагрева, штриховые — 1200 сек., пунктирующая — 1800 сек. При этом на рис.1  $R_{\lambda 0}=0$ ,  $R_{\lambda 1}=1$ , на рис.2  $R_{\lambda 0}=1$ ,  $R_{\lambda 1}=0$ .

На рис.3 результатирующие потоки излучения и  $R_{\lambda 0}=0$ ,  $R_{\lambda 1}=1$ .

#### ЛИТЕРАТУРА

1. Бурка А.Л., Рубцов Н.А., Ступнин В.П. Теоретическое и экспериментальное исследование режимов нагрева органического стекла // Материалы VI Всесоюз. конф. по тепломассообмену «Тепломассообмен-VI». Минск: Инт тепло- и мас-сообмена, 1980. -Т.2. -С. 132-137.
2. Соболев С.Л. Уравнения математической физики. М.: Наука, 1966.
3. Оцисик М.Н. Сложный теплообмен. М.: Мир, 1976
4. Канторович Л.В. О методе Ньютона // Тр. / АН СССР. Мат. ин-т. 1949. -Т. 28. -С. 135-139.
5. Tauton M.A. Engineering problems associated with supersonic transport aircraft // Aircraft Engng., 1963. -V. 35, N 11. -P. 326-336.
6. Авдуевский В.С., Галицкий Б.М., Глебов Г.А. и др. Основы теплопередачи в авиационной и ракетно-космической технике. М.: Машиностроение, 1975.